

## ارزیابی برآورد رسوب با استفاده از روش‌های منحنی سنجه و شبکه عصبی با تلفیق پارامترهای مورفولوژیکی حوزه (مطالعه موردی حوزه باع عباس)

مهدی حیات زاده<sup>\*</sup> ، جواد چزگی<sup>۱</sup> و محمد تقی دستورانی<sup>۲</sup>

(تاریخ دریافت: ۱۳۹۲/۹/۳؛ تاریخ پذیرش: ۱۳۹۳/۱۲/۲۰)

### چکیده

از آنجا که توسعه برنامه‌های مهار آب‌های سطحی ملزم به دستیابی دقیق رفتارهای جریان و میزان رسوبات آن می‌باشد لذا کمبود ایستگاه‌های اندازه‌گیری رسوب و فقدان آمار کامل رسوب، از جمله دلایل ارزیابی صحیح در شبیه‌سازی رفتار جریان‌ها و رسوبات آنهاست. از جمله مواردی که در یک حوزه آبخیز از هم تأثیر می‌پذیرند خصوصیات مورفولوژیکی حوزه و بار رسوبی جریان‌های آن می‌باشد. لذا آگاهی از میزان این ارتباط به منظور مدیریت و ساماندهی جریان در پایین دست حوزه حائز اهمیت می‌باشد. در تحقیق حاضر با استفاده از شبکه عصبی مصنوعی و روش‌های رگرسیونی سنجه رسوب براساس داده‌های ۱۳۶ واقعه دبی جریان و رسوب متناظر آن و همچنین پارامترهای مورفولوژیکی به پیش‌بینی بار رسوبی حوزه باع عباس اقدام گردیده است. بدین منظور در گام نخست برای پیش‌بینی بار رسوب از دو روشن مذکور، فقط از داده‌های جریان استفاده گردیده و در گام بعدی خصوصیات مورفولوژیکی حوزه از قبیل ضریب شکل و ضریب فشردگی حوزه به مدل‌ها اضافه شده است. نتایج بدست آمده از این تحقیق نشان می‌دهد که با به کار گیری شبکه عصبی از نوع پرسپترون چندلایه (MLP) با الگوریتم لونبرگ-مارکوارت و تابع تحریک از نوع تانژانت سیگموید با دو لایه مخفی و ۴ نرون در هر لایه، می‌توان با دقت مناسبی میزان دبی بار معلق رسوب را برآورد نمود. همچنین دقت نتایج بدست آمده از روش شبکه عصبی مصنوعی به مراتب از دقت روش منحنی سنجه بالاتر می‌باشد. در ارزیابی روش‌های شبکه NGANN، GANN و رگرسیونی SRC، MARS، MARS به ترتیب میزان ضریب همبستگی ۰/۹۴، ۰/۹۳ و ۰/۷۶۷ و مجدور میانگین مربعات خطأ (RMSE) به ترتیب ۰/۴۵، ۰/۴۹ و ۲/۳ و ضریب نش-ساتکلیف (NS) به ترتیب ۰/۷۱، ۰/۵۸ و ۰/۲۷ و محاسبه گردید. بنابراین کارترین روش از بین مدل‌های چهارگانه مذکور، شبکه عصبی مصنوعی همراه با داده‌های مورفولوژیکی حوزه (GANN) می‌باشد. ضمناً براساس یافته‌های تحقیق اضافه نمودن پارامترهای ژئومورفولوژیکی در روش سنجه رسوب تأثیر چندانی بر روی کارایی این مدل ندارد.

واژه‌های کلیدی: شبکه عصبی مصنوعی (ANN)، منحنی سنجه رسوب، روش مارس (MARS)، حوزه باع عباس

۱. گروه آبخیزداری، دانشکده منابع طبیعی و کویرشناسی، دانشگاه یزد

۲. گروه آبخیزداری، دانشکده منابع طبیعی و محیط زیست، دانشگاه فردوسی مشهد

\*: مسئول مکاتبات، پست الکترونیکی: mhayatzadeh@gmail.com

## مقدمه

که شبکه عصبی مصنوعی (Artificial neural network) ابزاری قدرتمند و دقیق در مورد مسائل غیرخطی و پیچیده از جمله پدیده رسوب می‌باشد و در اکثر موارد جواب‌های منطقی و قابل Sediment rating اعتمادی نسبت به منحنی سنجه رسوب (curve) ارائه می‌دهد (۷). کاربرد شبکه‌های عصبی مصنوعی اولین بار توسط فرنج در سال ۱۹۹۲ در بحثهای مربوط به منابع آب بیان گردید و از آن پس به طور چشمگیری در این زمینه از آن استفاده می‌شود (۱۷). در سال‌های اخیر تمایل زیادی نسبت به بررسی امکان استفاده از سیستم‌های شبکه‌های عصبی مصنوعی به وجود آمده است. سیستم شبکه‌های عصبی مصنوعی با تکیه بر داده‌ها و قابلیت انعطاف‌پذیری بالا با برقراری اوزان مختلف به ارتباطات عصبی در جریان فرآیند یادگیری قادر است جوابگوی مسائل مبهم و پیچیده باشد (۱۲). به خصوص مسائلی که به سادگی با روابط ریاضی قابل بیان نیستند. به طور کلی امروزه از جمله روش‌های کارآمد که استفاده فراوانی در علوم مربوط به هوا و آب دارد، شبکه عصبی مصنوعی (ANN) است که به عقیده محققان امر، علت اصلی مقبولیت و استفاده روزافزون آن، قدرت سرعت بالا در شبیه‌سازی فرآیندهایی است که درک و شناخت درستی از آن وجود نداشته و یا بررسی آنها با دیگر روش‌های موجود، پسیار دشوار و وقت‌گیر است. می‌توان اظهار داشت، مدل شبکه عصبی مصنوعی، مدلی قوی با توانمندی بالاست که می‌توان با دیدگاهی مثبت در پیش‌بینی مسائل اقلیمی هیدرولوژیک به آن نگریست به خصوص آنجا که این شبکه، قادر است قانون حاکم بر داده‌ها، حتی داده‌های معشوش را استخراج نماید و در ضمن نیازی به توضیح صریح طبیعت فرآیندها به صورت ریاضی دارد (۵).

### پیشینه تحقیق

با گسترش روزافزون کاربرد مدل‌های رایانه‌ای در سال‌های اخیر، استفاده از مدل‌های ضمنی متمکی بر شبکه‌های عصبی مصنوعی، به طور گسترده‌ای در مطالعات مربوط به پیش‌بینی پارامترهای مختلف منابع آب مورد استفاده قرار گرفته و محققان

فرسایش و رسوب‌گذاری یک رفتار مخرب در مراتع، اراضی کشاورزی و رودخانه‌ها است که منجر به از دست رفتن خاک حاصلخیز کشاورزی به صورت کاهش توان تولیدی و تخریب خصوصیات فیزیکی و شیمیایی خاک و اعمال خسارت هنگفت در طرح‌های منابع آب همچون تخریب و تغییر ابعاد کانال‌های آبیاری می‌شود، از سوی دیگر رسوب انتقال یافته توسط یک رودخانه به مخازن، ظرفیت ذخیره آنها را کاهش داده و بر آب قابل استفاده برای نیروگاه‌های برق، آبیاری و کاربردهای صنعتی و خانگی تأثیرگذار است (۲). انتقال رسوب و رسوب‌گذاری، پیامدهایی چون ایجاد جزایر رسوبی در مسیر رودخانه و در نتیجه کاهش ظرفیت انتقال جریان‌های سیلانی، کاهش عمر مفید سدها و ظرفیت ذخیره مخازن، خورده‌گی تأسیسات سازه‌های رودخانه‌ای و وارد شدن خسارات به اینهای آبی و مزارع، رسوب‌گذاری در کف کanal و بسیاری مسائل و مشکلات دیگر را در بر دارد. همچنین با توجه به اصول برداشت مصالح رودخانه‌ای و لزوم اطلاع از میزان رسوبات حمل شده توسط جریان رودخانه در طراحی سازه‌های رودخانه‌ای، ضرورت بررسی و مطالعه روش‌های مختلف برآورده بار رسوب رودخانه‌ها به روشنی تبیین می‌شود (۶). با توجه به اهمیت و حساسیت امر مهار آب‌های سطحی خصوصاً در کشور ما که اکثر رودخانه‌های مناطق مختلف، فصلی بوده و کمبود آبی که در پهنه وسیعی از کشور وجود دارد، مدل‌سازی رفتار رودها برای برنامه‌ریزی‌های بلندمدت و استفاده بیشتر و بهتر از پتانسیل آنها ضروری است. بنابراین لازمه توسعه برنامه‌های مهار آب‌های سطحی دستیابی دقیق به رفتارهای جریان و میزان رسوبات آن است. کمبود ایستگاه‌های اندازه‌گیری رسوب، جدید بودن بیشتر ایستگاه‌ها، قرار گرفتن بیشتر رودها در مناطق خشک، وضعیت بحرانی برداشت آب‌های زیر زمینی دلایل اهمیت و ضرورت ارزیابی صحیح در خصوص برآورده، پیش‌بینی و شبیه‌سازی رفتار جریان‌ها و رسوبات آنهاست (۱۱). همواره آنالیز سری‌های زمانی روی بار معلق رسوب برای یک ایستگاه با ترسیم منحنی بار معلق-دبی جریان صورت می‌گیرد، ولی مطالعات اخیر حاکی از آن است

واقعی به دست آمده از فلوم و عرصه را مورد بررسی قرار داده و کارایی مطلوب‌تر شبکه‌ها را از روش‌های رایج برآورد رسوب به کمک فلوم و روش‌های برآورد از عرصه، گزارش نمودند.

سگیز ولا و آلپ (۱۶) با به کارگیری دو الگوریتم آموزش Feed forward back (FFBP) برای رسوب حوزه آبریز جانیاتا Generalized regression neural (GRNN) (propagation networks) در آمریکا و مقایسه نتایج به دست آمده با روش‌های متداول منحنی سنجه رسوب و رگرسیون خطی چند متغیره

دریافتند که به کارگیری شبکه‌های عصبی مصنوعی در زمینه رسوب کاملاً بر روش‌های مذکور برتری دارد. ژو و همکاران (۲۱) با استفاده از مدل‌های شبکه عصبی مصنوعی رسوبات معلم ماهانه را در رودخانه لانگ شوان چیان واقع در حوزه بالادست رودخانه یانگ تسه در چین مدل‌سازی نمودند و نشان دادند هنگامی که متغیرهای ورودی و تأثیر تأخیر (Lag) زمانی آنها به طور صحیح به عنوان متغیرهای ورودی وارد مدل شوند، ANN دقت نسبتاً بالاتری را در مقایسه با روش‌های رگرسیونی چندمتغیره داشته و نیز این روش مقادیر دبی حد (حداکثر و حداقل) را نزدیک‌تر به واقعیت برآورد می‌کند.

نتایج تخمین بار رسوبی رودخانه گرگان‌رود توسط مساعدی و همکاران (۹) نشان دادند که خطای مدل‌های شبکه عصبی مصنوعی به طور متوسط نصف خطای مدل‌های منحنی سنجه رسوب می‌باشد. نجفی و همکاران (۱۰) با تخمین و مقایسه بار رسوب معلم رودخانه زاینده‌رود با استفاده از مدل شبکه عصبی MLP (Multi-layer Perceptron) و روش‌های GRNN و روشنی آماری نشان دادند که نتایج حاصل از مدل MLP در مقایسه با این روش‌ها، تطابق بیشتری با مقادیر اندازه‌گیری شده دارد. فیض‌نیا و همکاران (۸) با برآورد بار معلم روزانه در حوزه آبخیز زرد رامهرمز خوزستان با استفاده از روش‌های شبکه عصبی و رگرسیون نشان دادند که مدل شبکه عصبی دقت بالاتری را در برآورد بار معلم روزانه دارد.

العلمی و همکاران (۱) از شبکه‌های عصبی مصنوعی جهت مدل‌سازی چند ایستگاهه بار معلم رسوب ایستگاه آخولا بر روی

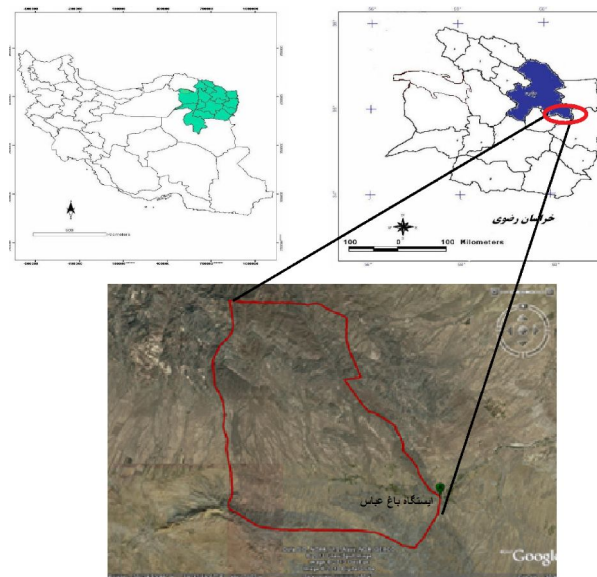
مختلف بر دقت بالای این روش در مقایسه با روابط تجربی و رگرسیونی تأکید نموده‌اند (۱۵، ۱۹). می‌دانیم که با استفاده از داده‌های اندازه‌گیری شده بار معلم رسوب و به کمک معادله منحنی رسوب می‌توان مقدار رسوب انتقالی را برآورد کرد. از آنجایی که استفاده از روش‌های معادله سنجه رسوب همواره با خطای زیادی همراه است. بنابراین لزوم استفاده از روشی هوشمند مانند شبکه عصبی مصنوعی در برآورد مقدار بار معلم احساس می‌شود (۱).

به طور کلی روش‌های برآورد بار معلم رودخانه‌ها را می‌توان به دو دسته تقسیم نمود. روش‌های مبتنی بر قوانین دینامیک و مکانیک سیالات که اغلب توسط متخصصان علم هیدرولیک ارائه و به روش‌های هیدرولیکی برآورد بار معلم شهرت یافته‌اند و روش‌های مبتنی بر اندازه‌گیری مستقیم و تحلیل‌های آماری که بیشتر توسط صاحب‌نظران علم هیدرولوژی توصیه و تحت عنوان روش‌های هیدرولوژیکی برآورد بار معلم نامیده می‌شوند (۳).

در این زمینه سیگیزولا (۱۴) اقدام به برآورد بار معلم در رودخانه‌ای در انگلستان با استفاده از روش ANN و منحنی سنجه نمود. نتایج او نشان داد که مدل شبکه‌های عصبی مصنوعی قادر به ارائه اطلاعاتی حتی در مورد ساختار و قایعه همچون پدیده پسماند در رابطه دبی و رسوب تحت تأثیر شرایط پیشین است.

گوین داراجو و زانگ (۱۸) با طراحی یک شبکه عصبی سه لایه براساس خصوصیات فیزیوگرافی دو حوزه در هند هیدروگراف واحد جریان را شبیه‌سازی نمودند و ضریب تشخیص بالاتر این روش را عامل برتری آن نسبت به روش معمول محاسبه ابعاد هیدروگراف برشمردند و ضمن معرفی روش شبکه عصبی مصنوعی به عنوان روش مطلوب به ویژگی‌های آن از جمله قابلیت به کارگیری داده‌های ژئومورفولوژیکی حوزه در برآورد جریان مستقیم آن اشاره نمودند.

باتاچاریا و همکاران (۱۳) مدل‌سازی رسوب منتقل شده توسط جریان با استفاده از شبکه‌های عصبی مصنوعی و مقادیر



شکل ۱. موقعیت حوزه آبخیز رودخانه فریمان و ایستگاه سنجش دبی و رسوب باغ عباس

رضوی از شمال شرق به شهر فریمان (حدود ۱۵ کیلومتری) متصل می‌گردد. ارتفاع متوسط حوزه  $1993/96$  متر با شبیه متوسط  $16/92$  و طول آبراهه اصلی  $23/55$  کیلومتر می‌باشد. در شکل ۱ موقعیت حوزه مورد مطالعه در منطقه نشان داده شده است.

در این تحقیق از آمار پارامترهای  $136$  حادثه سیلاب ثبت شده  $40$  ساله مربوط به دوره آماری سال  $1346$  تا  $1386$  استفاده شده است. این پارامترها شامل دبی لحظه‌ای روزانه به مترمکعب بر ثانیه و رسوب روزانه متناظر به تن در روز می‌باشد. خصوصیات طبیعی حوزه به کمک نرم افزار Arc Gis پارامترهای ژئومورفولوژیکی حوزه با استفاده از خصوصیات طبیعی حوزه براساس دستورالعمل سینگ و همکاران ( $20$ ) محاسبه گردیده است. عوامل طبیعی و پارامترهای ژئومورفولوژیکی حوزه در جدول ۱ ارائه شده است. در این تحقیق ضریب شکل حوزه و ضریب فشردگی از جمله پارامترهایی هستند که به عنوان ورودی به شبکه اعمال گردیدند.

### روش تحقیق

ابتدا آزمون حذف داده‌های پرت به کمک محاسبه شاخص

رودخانه آجی‌چای استان آذربایجان شرقی استفاده نمودند مقایسه نتایج شبکه عصبی مصنوعی با منحنی سنجه رسوب نشان می‌دهد که شبکه‌های عصبی مصنوعی کارایی بهتری در تخمین پدیده رسوب ایستگاه آخولا نسبت به روش‌های دیگر دارد که دال بر توانایی شبکه عصبی مصنوعی در مدل‌سازی پدیده‌های خطی از جمله مسئله رسوب است. هدف از این پژوهش توسعه مدل‌سازی با بهره‌گیری از روش شبکه‌های عصبی مصنوعی به کمک عوامل ژئومورفیک و غیرژئومورفیک و مقایسه عملکرد آنها با روش‌های رگرسیونی و منحنی سنجه رسوب، در حوزه رودخانه‌ای مورد مطالعه است. تا ضمن پیش‌بینی میزان رسوب حوزه توسط مدل‌ها و مقایسه مقادیر محاسبه شده با مقادیر مشاهده شده مزیت نسبی آنها تبیین گردد.

### مواد و روش‌ها

#### مشخصات و موقعیت منطقه مورد مطالعه

ایستگاه باغ عباس با حوزه آبریز رودخانه فریمان دارای وسعتی معادل  $281/12$  کیلومترمربع در محدوده عرض شمالی  $59^{\circ}34'54''$  تا  $59^{\circ}44'11''$  و محدوده طول شرقی  $35^{\circ}41'10''$  تا  $35^{\circ}33'01''$  گسترده شده است. این منطقه در استان خراسان

جدول ۱. پارامترهای ژئومورفولوژیکی حوزه آبخیز باغ عباس

| ردیف | پارامتر              | واحد     | مقدار    |
|------|----------------------|----------|----------|
| ۱    | ضریب شکل FF:         | بدون بعد | ۰/۵      |
| ۲    | معکوس ضریب شکل NB    | بدون بعد | ۱/۹۷     |
| ۳    | ضریب فشردگی GF:      | بدون بعد | ۱/۴۸     |
| ۴    | طول مستطیل معادل     | بدون بعد | ۳۶۷۹۰/۵۱ |
| ۵    | عرض مستطیل معادل     | بدون بعد | ۷۶۴۱/۱۱  |
| ۶    | زمان تمرکز (کریچ)    | ساعت     | ۲/۶      |
| ۷    | زمان تمرکز (ویلیامز) | ساعت     | ۶/۱۴     |

لحظه‌ای و S میزان بار رسوب می‌باشد.

در این روش بردار دبی با استفاده از به توان رسانی پارامترهای ژئومورفولوژی به تعدادی متغیر مستقل تبدیل شده سپس با استفاده از آنالیز رگرسیون چندمتغیره به کمک روش متواتی (Enter) پارامترهای مدل تعیین شده است. بنابراین یک مدل مناسب چندمتغیره ژئومورفولوژیکی طراحی می‌شود. به عبارت دیگر در این روش هریک از پارامترهای ژئومورفولوژی حوزه که به صورت یک داده نقطه‌ای هستند با تلفیق شدن در یک بردار داده نظری آمار سیلاپ به یک بردار داده جدید تبدیل می‌شوند و بردارهای جدید تولید شده مبنای رگرسیون چندگانه قرار گرفته و مدل مناسب حاصل می‌شود.

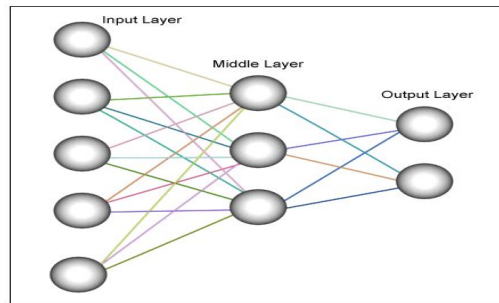
شبکه‌های عصبی طراحی شده در این پژوهش بسته به نوع داده‌های ورودی به دو نوع تقسیم شدنند نوع اول شبکه عصبی مصنوعی طراحی شده با استفاده از دبی و رسوب لحظه‌ای است. در این نوع شبکه دبی لحظه‌ای به عنوان عناصر ورودی و میزان رسوب لحظه‌ای به عنوان خروجی سیستم طراحی شده است. این شبکه به اختصار شبکه عصبی غیر ژئومورفولوژی NGANN (Non Geomorphologic Artificial Neural Network) نامیده شده است. نوع دوم شبکه عصبی مصنوعی طراحی شده با استفاده از عناصر به کار رفته در روش مارس تغذیه شده است و به دلیل تأثیر پارامترهای ژئومورفیک این شبکه به اختصار (Geomorphologic Artificial Neural Network) GANN

باقی‌مانده استیودنت (R student) در نرم افزار SPSS انجام گرفت که در نتیجه آن دو داده پرت شناسایی و حذف گردید. جهت نرمال‌سازی داده‌ها از روش لگاریتم‌گیری داده‌ها استفاده گردید. سپس مجموعه داده‌ها به دو گروه آموزش و آزمون تقسیم شدند. ۷۰ درصد داده‌ها برای آموزش (Training data) ۳۰ درصد داده‌ها برای صحبت سنجی (Testing data) یا آزمون مدل‌ها اختصاص یافت. مرحله بعد شامل مدل‌سازی به کمک داده‌های آموزش است که پس از طراحی مدل‌ها با داده‌های آزمون و کل داده‌ها مدل‌ها مورد ارزیابی قرار گرفت.

مدل‌های آماری طراحی شده به دو شیوه الف- رگرسیون ساده که به روش منحنی سنجه رسوب Sediment Rating معروف است. ب- مدل آماری در نتیجه تأثیر پارامترهای ژئومورفولوژی بر روی دبی لحظه‌ای طراحی گردیده است و ارتباط غیرخطی بین این متغیرهای مستقل با رسوب لحظه‌ای محاسبه و با استفاده از آنالیز رگرسیون از بین پارامترهای به کار گرفته شده، پارامترهای تأثیرگذار انتخاب شده Multivariate است. این روش به اختصار به روش مارس (MARS) Adaptive Regression Spline معروف است.

$$s = aR^{\sqrt{Ff}} + bR^{\sqrt{Df}} + cR^{\sqrt{Rf}} + d \quad [1]$$

ضرایب معادله a,b,c,d حوزه، تراکم زهکشی و ضریب ناهمواری، R میزان رواناب



شکل ۲. شبکه عصبی پر سپترون چند لایه (MLP)

و توسعه شبکه عصبی مصنوعی تجربیات موفق قبلی می‌تواند مفید واقع شود. در این تحقیق از شبکه‌های عصبی پر سپترون چند لایه (MLP) استفاده شده است و تعداد لایه‌های مخفی و تعداد نرون‌های لایه‌های مخفی به روش آزمون و خطأ و مقایسه عملکرد خطای آنها انتخاب شده‌اند. شکل ۲ برای ارزیابی نتایج عملکرد مدل‌های طراحی شده از مجدول میانگین مربعات خطأ (RMSE) و ضریب تبیین ( $R^2$ ) و ضریب نش-ساتکلیف (NS) بین بردار مشاهده شده و بردار پیش‌بینی شده بهره‌گیری شده است.

$$R^2 = 1 - \frac{\sum (y_o - y_f)^2}{\sum y_o^2 - \sum y_f^2} \quad [2]$$

$$RMSE = \sqrt{\frac{\sum_{j=0}^p \sum_{i=0}^n (y_o - y_f)^2}{NP}} \quad [3]$$

در روابط (۲) و (۳)  $y_o$ : مقادیر مشاهده شده  $y_f$  مقادیر پیش‌بینی شده  $P$ : تعداد متغیرهای خروجی و  $n$ : تعداد داده‌ها می‌باشد. ضریب نش-ساتکلیف (NS) اختلاف نسبی مقادیر مشاهده‌های و شبیه‌سازی شده را نشان می‌دهد و مقدار این فاکتور بین یک تا منفی بی نهایت تغییر می‌کند. مقدار بیشتر  $0/50$  از این فاکتور نشان‌دهنده شبیه‌سازی خوب توسط مدل است فرمول آن عبارت است از:

$$NS = 1 - \frac{\sum_{i=1}^n (Q_{obs} - Q_{sim})^2}{\sum_{i=1}^n (Q_{obs,i} - \bar{Q}_{obs})^2} \quad [4]$$

که در آن  $Q_{obs}$  مقادیر اندازه‌گیری شده رسوب،  $Q_{sim}$  مقادیر

نامیده شده است.

هریک از انواع مختلف شبکه‌های عصبی در زمینه‌ای به خصوص، قابلیت بهتری نسبت به سایر انواع دیگر دارد لیکن برای عمل تقریب تابع، شبکه‌های عصبی چند لایه مناسب‌ترین می‌باشند. ساختار شبکه عصبی، ورودی‌های اعمال شده، تعداد لایه‌های مخفی، تعداد نرون‌های لایه‌ها، نحوه آموختش و تعداد بردارهای خروجی هر شبکه در ارزیابی عملکرد مدل مؤثر است. ترکیب‌های گوناگون در پارامترهای ورودی و تعداد لایه‌های مخفی برای رسیدن به یک خروجی مطلوب معماری شبکه قلمداد می‌شود. در این شبکه‌ها ورودی مؤثر هر نرون، حاصل ضرب خروجی نرون‌های لایه قبل در وزن‌های میان آن نرون‌ها است. نرون‌های لایه اول اطلاعات را گرفته و از طریق اتصالات مربوطه به نرون‌های لایه مخفی منتقل می‌کنند. در لایه مخفی پس از محاسبه ورودی مؤثر هر نرون، این ورودی از یک تابع محرک گذرانده می‌شود. برای این کار توابع مختلفی ارائه شده است که گرایش بیشتر محققان به استفاده از توابع محرک کران‌دار می‌باشد که مشهورترین آنها تابع سیگموئید است.

در شبکه‌های از نوع انتشار برگشتی قاعده مشخصی برای انتخاب لایه‌های پنهان و همچنین تعداد نرون‌ها در لایه پنهان وجود ندارد. در حقیقت انتخاب تعداد نرون‌ها در لایه پنهان و همچنین تعداد لایه‌های پنهان با توجه به نوع مساله تغییر می‌کند. در حل مسائل هیدرولوژی، با توجه به تغییرات شدید داده‌ها، اغتشاش حاکم بر داده‌ها استفاده از شبکه‌های از نوع پس انتشار خطأ به دلیل قابلیت انعطاف‌پذیری بالا با معماری منطبق بر تجربه و آزمون و خطأ استفاده می‌شود. با توجه به عدم وجود ثبات در ایجاد

جدول ۲. پارامترهای آزمون ANOVA در روش SRC

| Model      | Sum of Squares | df  | Mean Square | F     | Sig.               | Model |
|------------|----------------|-----|-------------|-------|--------------------|-------|
| Regression | ۳۹۶۴۷۸۴/۲      | ۱   | ۳۹۶۴۷۸۴/۲   | ۱۹۱/۷ | ۰/۰۰۰ <sup>a</sup> |       |
| Residual   | ۲۷۹۱۸۰۳/۲      | ۱۳۵ | ۲۰۶۸۰       |       |                    | Enter |
| Total      | ۶۷۵۶۵۸۷/۴      | ۱۳۶ |             |       |                    |       |

a. Predictors: (Constant), input\_DEBI

جدول ۳. پارامترهای آزمون ANOVA در روش MARS

| Model      | Sum of Squares | df  | Mean Square | F    | Sig.               | Model |
|------------|----------------|-----|-------------|------|--------------------|-------|
| Regression | ۳۹۷۱۲۳۹/۵      | ۲   |             | ۹۵/۵ | ۰/۰۰۰ <sup>a</sup> |       |
| Residual   | ۲۷۸۵۳۴۷/۹      | ۱۳۴ | ۱۹۸۵۶۱۹/۸   |      |                    |       |
| Total      | ۶۷۵۶۵۸۷/۴      | ۱۳۶ | ۲۰۷۸۶/۲     |      |                    | Enter |
| Xcc        |                |     |             |      | ۰/۲۲۴              |       |
| Xcs        |                |     |             |      | ۰/۰۱۶              |       |

a. Predictors: (Constant), Q^cc, Q^cs

$$y = ۱۲۶/۵۱۵x + ۳/۳۰۸ \quad [۵]$$

که در رابطه (۵) x دبی جریان بدون پارامترهای مورفولوژیکی و y دبی رسوب می‌باشد.

نتایج آنالیز رگرسیون چندمتغیره MARS ژئومورفولوژیکی و انتخاب مدل مناسب به شرح جدول (۳) است. در این جدول نتایج انتخاب مدل مناسب تبیین شده است. مشخصات ارزشیابی مدل نهایی شده به کمک آماره‌های ضریب همبستگی، ضریب تبیین، مجازور میانگین مریعات خطای و میانگین خطای مطلق گزارش شده است. رابطه (۶) رگرسیون دو متغیره الگو گرفته از معادله مارس در این تحقیق می‌باشد.

$$y = ۳۰/۵۷۷x_{cc} + ۱۳۰/۸۷۱x_{cs} - ۸/۷۵۱ \quad [۶]$$

در رابطه (۶)  $x_{cc}$  به عنوان مقادیر  $R^{\sqrt{cc}}$  می‌باشد. R: دبی لحظه‌ای جریان و cc پارامتر ضریب فشردگی حوزه می‌باشد.  $x_{cs}$  نیز پارامتر  $R^{\sqrt{cs}}$  بوده که R دبی لحظه‌ای جریان و cs نیز ضریب شکل حوزه می‌باشد.

در این تحقیق مدل شبکه عصبی مصنوعی پرسپترون

شبیه‌سازی شده رسوب،  $Q_{obs}$  متوسط مقادیر اندازه‌گیری شده رسوب می‌باشد.

### یافته‌های تحقیق

نتایج آزمون بهترین رابطه برآذش در روش SRC (منحنی سنجه) با مقایسه ضرایب تبیین و مجلدور میانگین مریعات خطای بهترین تابع برآذش بین دو متغیر دبی لحظه‌ای و رسوب متناظر از نوع تابع خطی انتخاب شده است. در این تحقیق از آزمون ANOVA به عنوان آماره‌ای جهت تعیین معنی دار بودن رابطه رگرسیونی انتخاب شده تا در مرحله بعدی در صورت معنی دار بودن آزمون (sig کمتر از ۰/۰۵) میزان تأثیر و رودهای معادله در میزان رسوب برآورده تعبیین گردد. جداول ۲ و ۳ نتایج آزمون در دو روش SRC و MARS و معنی دار بودن هر دو روش در سطح اعتماد ۹۵ درصد نشان می‌دهد. جدول (۳) معنی دار بودن پارامتر ضریب شکل حوزه در خروجی رگرسیون را نشان می‌دهد. رابطه سنجه SRC در این تحقیق به صورت رابطه (۵) می‌باشد.

جدول (۴) نتایج ارزیابی مدل‌های مختلف برآورد رسوب معلق جریان حوزه باغ عباس

| MAE  | R     | $R^2$ | NS   | RMSE  | Input            | Model |
|------|-------|-------|------|-------|------------------|-------|
| ۰/۳۸ | ۰/۹۴  | ۰/۸۸  | ۰/۷۱ | ۰/۴۵۱ | $R^{sc}, R^{cc}$ | GANN  |
| ۰/۴  | ۰/۹۳  | ۰/۸۶  | ۰/۵۸ | ۰/۴۸۸ | (دبی جریان) R    | NGANN |
| ۰/۵۹ | ۰/۷۶۷ | ۰/۵۸۸ | ۰/۲۷ | ۲/۳۳۷ | $R^{sc}, R^{cc}$ | MARS  |
| ۰/۸  | ۰/۷۶۶ | ۰/۵۸۷ | ۰/۲۳ | ۲/۳۳۸ | (دبی جریان) R    | SRC   |

تحریک از نوع تانژانت سیگموید، می‌توان با دقت بالایی میزان دبی بار معلق رسوب را پیش‌بینی نمود و دقت نتایج به دست آمده از روش شبکه عصبی مصنوعی به مراتب از دقت روش منحنی سنجه با و بدون دسته بندهای داده‌ها بالاتر است که با تحقیق دقانی و همکاران (۴) و جلالی و همکاران (۳) مطابقت دارد. در این تحقیق با توجه به یکسان بودن داده‌های ورودی مدل‌های MARS و GANN می‌توان علت وجود اختلاف در نتایج ارزیابی مدل‌ها را در نوع مدل به کار گرفته جستجو نمود. بنابراین می‌توان کارایی بالاتر شبکه عصبی مصنوعی ژئومورفولوژیکی را نسبت به مدل رگرسیونی ژئومورفولوژیکی به خوبی استنتاج نمود که با نتایج ولی و همکاران (۱۱) مطابقت دارد.

در این تحقیق حاصل مقایسه نتایج مدل‌های MARS و SRC که اختلاف معنی‌داری در پیش‌بینی دبی رسوب نداشتند را می‌توان به پایین بودن ضریب فشردگی و ضریب شکل منطقه موردن مطالعه نسبت داد که با نتایج ولی و همکاران (۱۱) مغایرت داشت.

مقایسه نتایج روش‌های آماری و نتایج شبکه‌های عصبی کارایی بهتر مدل‌های شبکه عصبی را در برآورد رسوب لحظه‌ای روزانه بیان می‌کند. علت تفاوت بین عملکرد بهتر شبکه‌های عصبی مصنوعی در مقایسه با روش‌های آماری را می‌توان در قابلیت تخمین و پیش‌بینی شبکه‌های عصبی مصنوعی برای تقریب غیرخطی با حجم کم داده‌ها جستجو نمود. این در حالی است که عملکرد و دقت روش‌های رگرسیونی به شدت

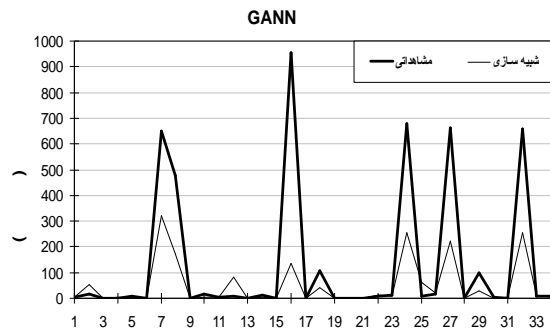
چندلایه (MLP) با الگوریتم لونبرگ مارکوارت با دو لایه مخفی برای شبیه‌سازی دبی رسوب انتخاب گردید. با توجه به این که یکی از اهداف تحقیق مقایسه روش‌های NGANN و GANN است. بنابراین، ساختار و توابع عملکردی آنها ثابت فرض شده است تا بتوان تأثیر ورودی‌های دو مدل را در شرایط یکسان با یکدیگر مقایسه کرد.

نتایج حاصل از مدل‌سازی آماری و شبکه‌های عصبی مصنوعی و عملکرد هر مدل در جدول ۴ ارائه شده است. نتایج تأثیر عوامل ژئومورفولوژی متنج به انتخاب دو ضریب شکل و ضریب فشردگی حوزه با استفاده از آمار دبی و استنباط ارتباط بین دو متغیر مستقل فوق الذکر با میزان رسوب توسط روش MARS بررسی شده است.

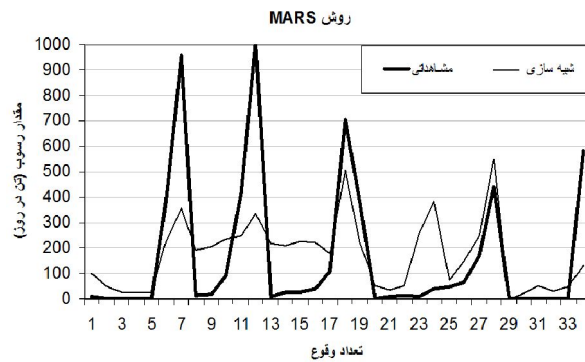
## نتیجه‌گیری و بحث

در این تحقیق عملکرد مدل‌های مختلف به کمک فاکتورهای RMSE و  $R^2$  و میانگین خطای مطلق (MAE) مورد ارزیابی قرار گرفته است. این مقادیر مزیت نسبی مدل‌ها را نشان می‌دهند. بیشترین ضریب تبیین معنی‌دار و کمترین میزان خطای RMSE و MAE بهترین روش را معرفی می‌نماید. بنابراین، ارزش برآورده روش‌ها به ترتیب SRC, MARS, NGANN با میزان ضریب تبیین ۰/۸۶، ۰/۸۸ و ۰/۵۸ و GANN نتایج سایر آزمون‌ها در جدول (۴) مشخص گردیده است.

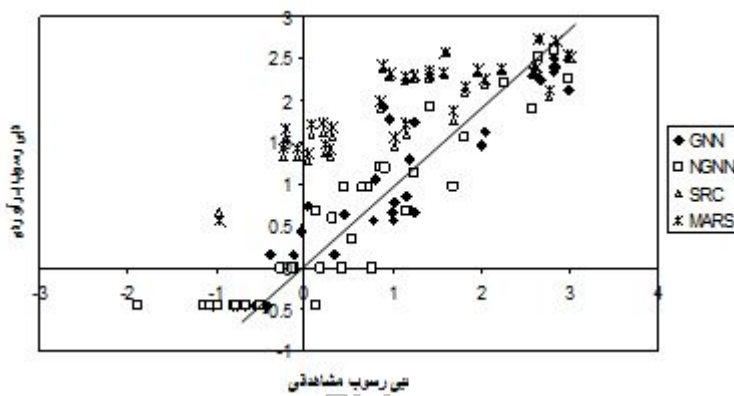
نتایج به دست آمده از این تحقیق نشان می‌دهد که با به کارگیری شبکه عصبی از نوع پرسپترون چندلایه و تابع



شکل ۴. مقایسه مقادیر مشاهداتی و شبیه‌سازی شده رسوب در روش GANN



شکل ۳. مقایسه مقادیر مشاهداتی و شبیه‌سازی شده رسوب در روش مارس



شکل ۵. تغییرات مقادیر نرم‌المل مشاهداتی و پیش‌بینی شده رسوب معلق برای داده‌های آزمون در روش‌های مختلف.

نتیجه‌گیری نهایی تحقیق معرفی و ارائه مدل طراحی شده شبکه عصبی مصنوعی به کمک پارامترهای ژئومورفولوژیکی حوزه آبخیز رودخانه مزبور است. این مدل از نوع پرسپترون چند لایه (MLP) با الگوریتم لونبرگ-مارکوارت با دو لایه مخفی و ۴ نرون در هر لایه بوده و قابلیت پیش‌بینی و شبیه‌سازی بار رسوب جریان را با کمترین محدودیت دارد. در کل بر طبق یافته‌های این تحقیق مدل شبکه عصبی مصنوعی قابلیت خوبی را از خود در پیش‌بینی رسوب نشان می‌دهد و این کارایی با دخیل شدن پارامترهای مورفولوژیکی حوزه افزون می‌گردد.

از حجم نمونه تبعیت می‌کند و حجم کم نمونه‌ها می‌تواند عامل محدودیت مدل‌های آماری گردد. مقایسه شکل‌های ۳ و ۴ نشان می‌دهد که روش شبکه عصبی دارای روند بهتری در شبیه‌سازی داده‌های رسوب نسبت به روش سنجه رسوب می‌باشد.

در شکل ۵ نیز مقادیر پیش‌بینی شده توسط شبکه عصبی مصنوعی و منحنی‌های سنجه در مقابل مقادیر مشاهده شده نشان داده شده، این شکل تشخیص چشمی عملکرد مدل‌های مختلف برآورد با رسوب روزانه را آشکار می‌سازد. همان‌طور که از شکل ۵ مشخص است، نتایج به دست آمده از شبکه عصبی حول خطی با زاویه ۴۵ درجه به خوبی پراکنده شده است، که این نشان خطای کمتر شبکه عصبی در پیش‌بینی رسوب نسبت به مدل‌های رگرسیونی می‌باشد.

## منابع مورد استفاده

۱. اعلمی، م. و. نورانی، ح. نظام آرا. ۱۳۸۸. قابلیت شبکه عصبی مصنوعی جهت مدل‌سازی چند ایستگاهه بار معلق در مقایسه با روش منحنی رسوب. مجله دانش آب و خاک ۱۹(۲): ۵۵-۴۵.
۲. تلوری، ع. ن. بیرونیان و ا. منوچهری. ۱۳۸۶. مدل‌سازی تغییرات زمانی رسوب مطالعه موردی حوزه آبریز گاران در کردستان. فصلنامه پژوهش و سازندگی در منابع طبیعی، شماره ۷۵، ص ۷۰-۶۴.
۳. جلالی، م. ک. سلیمانی. ۱۳۸۶. برآورد بار معلق رسوب ایستگاه هیدرومتری آبلونکارود با استفاده از منحنی سنجه رسوب و شبکه عصبی مصنوعی. چهارمین همایش ملی علوم و مهندسی آبخیزداری ایران، کرج، ص ۱۱۲۴-۱۱۱۵.
۴. دهقانی، ا. ا. م. زنگانه، ا. مساعدی و ن. کوهستانی. ۱۳۸۸. مقایسه تخمین بار معلق به دو روش منحنی سنجه رسوب و شبکه عصبی مصنوعی (مطالعه موردی رودخانه دوغ استان گلستان). مجله علوم کشاورزی و منابع طبیعی ۱۶(۱): ص ۱۲.
۵. دهقانی، ا. ر. احمدی. ۱۳۸۷. تخمین آبدی حوزه های آبخیز فاقد آمار با استفاده از شبکه عصبی مصنوعی. اولین کنفرانس بین المللی بحران آب. وزارت علوم، تحقیقات و فناوری - دانشگاه زابل، ص ۶.
۶. داننده مهر، ع. ا. علیانی، م. قربانی. ۱۳۸۰. پیش‌بینی بار معلق رودخانه‌ای بر مبنای دبی جریان با استفاده از برنامه‌ریزی ژنتیک. پژوهش‌های آبخیزداری، شماره ۸۸، ص ۵۴-۴۴.
۷. طلوی، س. ع. حسین زاده دلیر. ۱۳۹۰. تخمین زمانی و مکانی بار معلق رودخانه آجی‌چای با استفاده از زمین آمار و شبکه عصبی مصنوعی. نشریه دانش آب و خاک، جلد ۲۱، شماره ۴، ص ۱۰۴-۹۴.
۸. فیض نیا، س. ح. محمد عسگری و م. معظمی. ۱۳۸۶. بررسی کارآیی روش شبکه عصبی مصنوعی در تخمین رسوب معلق روزانه (بررسی موردی حوزه آبخیز زرد رامهرمز، استان خوزستان)، فصلنامه منابع طبیعی دانشگاه تهران، دوره ۶۰، شماره ۴، ۱۲۱۰-۱۱۹۹.
۹. مساعدی، ا. ا. محمدی، ع. نجفی نژاد. ۱۳۸۵. بهینه‌سازی روابط دبی جریان و دبی رسوب معلق در ایستگاه‌های منتخب رودخانه گرگان‌رود. نشریه منابع طبیعی ایران ۵۹(۲): ۳۴۲-۳۳۱.
۱۰. نجفی، ن. م. حیدرپور و م. کیخایی. ۱۳۸۵. بررسی کارآیی شبکه عصبی مصنوعی در شبیه‌سازی بارش و رواناب. اولین همایش منطقه‌ای بهره‌برداری بهینه از منابع آب حوزه‌های کارون و زاینده‌رود، شهرکرد.
۱۱. ولی، ع. م. رامشت. ۱۳۹۰. مقایسه کارآیی مدل‌های شبکه‌های عصبی مصنوعی و رگرسیون برای پیش‌بینی بار رسوب جریان حوزه آبخیز سمندگان. مجله جغرافیا و برنامه‌ریزی محیطی، شماره پیاپی ۴۴، شماره ۴، ص ۱۵-۴۴.
12. ASCE. 2000. Artificial neural networks in hydrology. Hydrology applications. J. Hydro. Engin. 5: 124-136.
13. Bhattacharya, B., R. K. Price and D. P. Solomatine. 2005. Data-driven modeling in the context of sediment transport. Physics and Chemistry of the Earth 30: 297-302.
14. Cigizoglu, H. 2002. Suspended sediment estimation for rivers using artificial neural networks and sediment rating curves. Turkish j. Eng. Env. Sci. 26(1): 27-36/
15. Cigizoglu, H. K. 2004. Estimation and forecasting of daily suspended sediment data by multi layer perceptrons. Advances in Water Resources 27: 185-195.
16. Cigizoglu, H. K. and M. Alp. 2006. Generalized regression neural network in modeling river sediment yield. J. Advance in engineering software 37: 63-68.
17. French, M. N., W. F. Krajewski and R. R. Cuykendall. 2003. Rainfall forecasting in space and time using artificial neural network. J. Hydro. 137(1): 41-31.
18. Govindaraju, R. S., A. RamachandraRao. 2000. "Artificial Neural Networks in Hydrology", Kluwer Academic Publisher, pp329.

19. Picoet, C., B. Hingray and J. C. Olivry. 2001. Empirical and conceptual modeling of the suspended sediment dynamics in large tropical African River: The Upper Niger River Basin. *J. Hydrol.* 250: 19-39.
20. Singh PK., V. Kumar, RC. Purohit, M. Kothari, PK. Dashora. 2009. Application of principal component analysis in grouping geomorphic parameters for hydrologic modeling. *Water Resour Manage* 23(3): 25-339
21. Zhou, Y., X. X. Lu, Y. Huang. Y. M. Zhu. 2007. Suspended sediment flux modeling with artificial neural network: An example of the Longchuanjiang River in the upper Yangtze catchment, China. *Geomorphology* 84: 111-125.

Archive of SID